

Рис. 4. Хроматограмма непрерывного разделения смеси H₂ (1); O₂ (2); Kr (3); Xe (4) с программированием скорости потока газа-носителя.

скользящего контакта между колонкой и блоком последний изготовлен из двух слоев: эластичного (например, из фторопласта-4), контактирующего с вращающейся колонкой, и металлического для придания жесткости конструкции.

На устройстве такого типа проводилось непрерывное разделение смеси аргона, криптона и ксенона. Датчик и приемник имеют по 24 канала. Концентрация выделяемого компонента в газе-носителе, выходящем через соответствующий канал приемника, определялась с помощью хроматографа XL-4. По этим данным построена хроматограмма непрерывного разделения (рис. 2).

УДК 536.21

Теплофизические свойства керметов системы Al₂O₃ — Mo

ОСИПОВА В. А., КЯР Х. А., НИКОЛЬСКАЯ О. Н.

Исследованы теплофизические свойства керметов Al₂O₃ + 50 об. % Mo, Al₂O₃ + 70 об. % Mo и Al₂O₃ + 85 об. % Mo. Плотности спеченных образцов равны соответственно 6980; 8310 и 8716 кг/м³; при этом общая пористость колеблется в пределах 3,5—6%.

Комплексный метод монотонного нагрева и установка для проведения опытов в температурном интервале 500—1500 К описаны ранее [1]. Относительные среднеквадратические погрешности измерения коэффициентов теплопроводности, температуропроводности и удельной теплоемкости составляют 9; 7 и 6% соответственно при доверительной вероятности 0,95.

В другом типе устройств вместо сплошного цилиндрического слоя сорбента использована система элементарных хроматографических колонок, размещенных по образующей цилиндра определенного радиуса, аналогично тому, как это сделано в хроматографах, предложенных Тарамассо [4, 5]. Если последние позволяют проводить разделение в равномерном потоке газа-носителя, конструкция нашего устройства благодаря использованию многосекционного датчика (рис. 3) допускает программирование состава и скорости потока газа-носителя. В результате становится возможным на устройстве со сравнительно малым числом хроматографических колонок проводить разделение сложных многокомпонентных газовых смесей. На рис. 4 приведена хроматограмма непрерывного разделения смеси H₂, O₂, Ar, Kr и Xe. 12 колонок длиной 650 мм и диаметром 4 мм заполнены молекулярными ситами СаА (5 Å). Разделение проводили с программированием скорости потока газа-носителя (титана). Расход газа-носителя при элюировании H₂, O₂ и Ar составлял 1,8 л/ч, а Kr и Xe 2,1 и 6,0 л/ч соответственно. Кислород и аргон в данном случае элюируются практически одновременно, но, установив последовательно проточного счетчик и катарометр, можно определить содержание ⁴¹Ar и сумму стабильных Ar + O₂. Зоны остальных компонентов попадают в отдельные каналы приемника, за которыми установлены соответствующие детекторы.

Хроматограммы подтверждают возможность непрерывного разделения смеси основных газообразных компонентов, которые могут присутствовать в качестве примесей в теплоносителе или компенсаторах объема первого контура ядерных энергетических установок. В сочетании со стандартными детектирующими устройствами двухмерные хроматографы могут обеспечить непрерывный контроль содержания радиоактивных и стабильных газов в сложных газообразных средах.

Поступило в Редакцию 24/XI 1974 г.

СПИСОК ЛИТЕРАТУРЫ

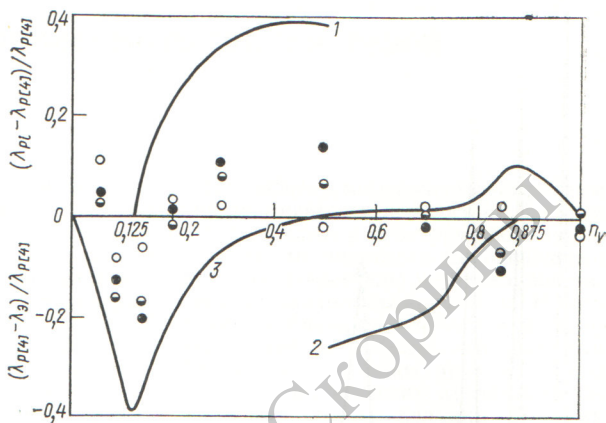
1. Martin A. «Discuss. Farad. Soc.», 1969, v. 7, p. 332.
2. Преображенский Б. К. и др. «Радиохимия», 1968, т. 10, № 3, с. 375.
3. Deverauf H. Patent USA, cl. 210-31, (B01d15/08), N 3.496.102, 1970.
4. Тарамассо М., Сакодынский К. И. В сб.: Успехи хроматографии. М., «Наука», 1972, с. 248.
5. Taramasso M. «J. Chromatogr.», 1970, v. 49, p. 27.

Результаты исследования приведены в таблице. Нахождение коэффициентов переноса материалов, в том числе коэффициента теплопроводности, расчетными методами приобретает важное значение в связи с увеличивающимся разнообразием разрабатываемых материалов.

Теория обобщенной проводимости дает математическое описание процесса переноса тепла в зависимости от свойств и взаимного расположения компонентов с учетом распределения тепловых потоков в многокомпонентной системе. Известные расчетные зависимости получены на основе анализа матричной (тепловой поток

Теплопроводность λ (Вт/м·К) и температуро-проводность a (10^6 м²/с) исследованных материалов

T, K	50% Al ₂ O ₃ + + 50% Mo		30% Al ₂ O ₃ + + 70% Mo		15% Al ₂ O ₃ + + 85% Mo	
	λ	a	λ	a	λ	a
473	—	—	—	—	97,4	33,6
500	53,6	16,4	72,1	23,8	—	—
573	—	—	—	—	92,0	30,0
600	44,8	13,4	64,9	20,8	—	—
673	—	—	—	—	87,2	27,3
700	39,2	11,5	59,0	18,5	—	—
773	—	—	—	—	84,3	25,3
800	36,0	10,4	54,8	16,8	—	—
873	—	—	—	—	81,5	23,8
900	32,9	9,4	51,3	15,4	—	—
973	—	—	—	—	78,9	22,5
1000	30,2	8,6	48,8	14,5	—	—
1073	—	—	—	—	76,5	21,3
1100	27,7	7,8	46,9	13,8	—	—
1173	—	—	—	—	74,2	20,2
1200	25,7	7,2	45,6	13,3	—	—
1273	—	—	—	—	73,2	19,6
1300	24,1	6,7	44,9	13,0	—	—
1373	—	—	—	—	72,1	19,1
1400	23,7	6,6	44,2	12,7	—	—
1473	—	—	—	—	71,8	18,9
1500	—	—	43,8	12,6	—	—



Сравнение экспериментальных и расчетных данных по теплопроводности системы Al₂O₃-Mo (λ_p — экспериментальное значение; λ_{pi} — расчетное значение, где i равно 1 [2]; 2 [3];

4 [4]; n_v — объемное содержание молибдена) для T , равных соответственно 600 (—○—); 900 (—○—); 1200 (●) К; 1 — по работе [2], матрица Al₂O₃; 2 — по работе [2], матрица Mo; 3 — по работе [3]

четных $\pm 9\%$. Приведены также графики отклонения данных, рассчитанных по работам [2] (кривые 1, 2) и [3], (кривая 3) от данных, рассчитанных по работе [4], при температуре 900 К в координатах $\frac{\lambda_{pi} - \lambda_{p[4]}}{\lambda_{p[4]}} - n_v$.

Авторы благодарят Е. Н. Ильина за помощь в проведении экспериментов.

Поступило в Редакцию 4/XI 1974 г.

СПИСОК ЛИТЕРАТУРЫ

1. Осипова В. А., Кяар Х. А. В сб.: Термо- и массоперенос. Т. 7, Минск, 1972, с. 146.
2. Миснар А. Теплопроводность твердых тел, жидкостей, газов и их композиций. М., «Мир», 1968.
3. Дульнев Г. Н. «Инженерно-физический журнал», 1965, т. IX, № 3, с. 399.
4. Осипова В. А., Кяар Х. А., Никольская О. Н. В сб.: Термо- и массоперенос. Т. 7, Минск, 1972, с. 151.
5. Осипова В. А., Пак М. И. «Атомная энергия», 1969, т. 26, вып. 1, с. 72.
6. Осипова В. А., Кяар Х. А. «Атомная энергия», 1972, т. 32, вып. 2, с. 162.
7. Мармер Э. Н. и др. Высокотемпературные материалы. М., «Металлургия», 1967.
8. Thermophysical Properties of High Temperatur Solid Materials. Ed. Y. Touloukian. N.Y.—London, 1967

перпендикулярен грани кубического включения) [2] или взаимопронизывающей [3] структур. В работе [4] сделана попытка описать перенос тепла с учетом возможной перестройки структуры в широком интервале изменения объемных содержаний компонентов. Перестройка от матричной структуры к взаимопронизывающей характеризуется появлением и ростом мостиков между изолированными кубическими включениями.

На рисунке в координатах $\frac{\lambda_{p[4]} - \lambda_0}{\lambda_{p[4]}} - n_v$ приведены результаты сопоставления опытных значений коэффициентов теплопроводности с расчетными данными [4]. Сравнение проводилось по девяти керметам [1, 5, 6] при температурах 600; 900 и 1200 К. Объемное содержание молибдена изменялось от 6 до 100%. Подлежащие сравнению опытные данные приведены к нулевой пористости с помощью расчетной зависимости для матричной структуры. Коэффициенты теплопроводности компонентов взяты из работ [7, 8]. Среднеквадратическое отклонение опытных данных от рас-

четных результатов составляет $\pm 9\%$. Приведены также графики отклонения опытных данных от расчетных для теплопроводности системы Al₂O₃-Mo (λ_p — экспериментальное значение; λ_{pi} — расчетное значение, где i равно 1 [2]; 2 [3]; 4 [4]; n_v — объемное содержание молибдена) для T , равных соответственно 600 (—○—); 900 (—○—); 1200 (●) К; 1 — по работе [2], матрица Al₂O₃; 2 — по работе [2], матрица Mo; 3 — по работе [3]

УДК 539.121.72/75:518.3

Ионизационные потери энергии и пробеги протонов в ионных кристаллах

ПОТЕТЮНКО Г. Н., ШИПАТОВ Э. Т.

Для измерения глубинных распределений радиационных дефектов в ионных кристаллах применяется метод энергетического анализа обратно рассеянных

протонов [1, 2]. Переход от энергетической шкалы к шкале глубин осуществляется по известным тормозным способностям кристаллов для частиц анализирую-